

MEMS Laboratory

Száraz marások



Pongrácz Anita
2010. Április

MTA MFA MEMSLabor - Száraz marások 1

MEMS Laboratory

Marások szerepe a mikrotechnológiában

Cél: mintázat/3D struktúra kialakítása

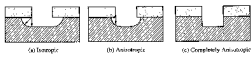


Figure 10-3 Etch profiles for different degrees of anisotropy, or directionality, etching: (a) partly isotropic etching; (b) anisotropic etching; (c) completely anisotropic etching.

Nedves marás	Száraz marás
- Folyékony marószer	-Gáz fázisú marószerből plazma
-Kémiai folyamat	-Kémiai és fizikai folyamat

Si nedves kémiai marása: $\text{HNO}_3 + \text{HF}$ elegyében
(HNO_3 részlegesen NO_2 -vé bomlik.)

Si száraz marása: halogén alapú plazmákban
 $\text{Si} + 4\text{F} \rightarrow \text{SiF}_4$

(1) $\text{Si} + 2\text{NO}_2 + 2\text{H}_2\text{O} \rightarrow \text{SiO}_2 + \text{H}_2 + 2\text{HNO}_2$
(2) $\text{Si} + \text{HNO}_3 + 6\text{HF} \rightarrow \text{H}_2\text{SiF}_6 + \text{HNO}_2 + \text{H}_2\text{O} + \text{H}_2$

MTA MFA MEMSLabor - Száraz marások 2

MEMS Laboratory

Plazma marás

MTA MFA MEMSLabor - Száraz marások 3

MEMS Laboratory

Plazma marások jellemzői I.

Plasma Glow

- Alacsony gáz nyomás (1 mtorr-1 torr)
- Nagy elektromos teret kapcsolunk az elektródákra, 13.56 MHz RF
- Gáz atomok egy része ionizálódik: e^- + ionok – plasma glow – vezető gáz (ionok, szabad gyökök, elektronok, semleges részecskék), a gyorsan mozgó elektronok gerjesztik a részecskéket – ezek relaxálódnak – foton bocsátanak ki

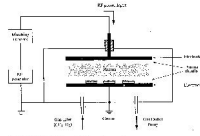


Figure 10-27 Schematic diagram of a plasma etching system.

MTA MFA MEMSLabor - Száraz marások 4

MEMS Laboratory

Plazma marások jellemzői II.

Elektrosztatikus plazma burok (SHEATH)

Plazmával kölcsönhatásba lépő elektróda/fal csak a közvetlen környezetében módosítja a plazmát. A plazma egy árnyékoló burkot képez (tíh. Nem turbulens/nincsenek nagy áramok)

- Debye árnyékolási hossz – a plazma sheath karakterisztikus hossza
- Az $\mu_e \gg \mu_{ion}$ – az elektródákon több e^- veszik el, mint ion – pozitív többlettöltés alakul ki a plazmában az elektródákhoz képest – V_p plazma potential
- A plazma fényes része és a fal között van a sötét terület – elektron hiányos terület, nincs gerjesztés, ez határozza meg a bombázó ion energia és irány eloszlását
- Az e^- hiány miatt a sheath-nek nagyobb az impedanciája, mint a plazma glow-nak, – A feszültség esés a sheath-en keresztül történik
- Asszimmetrikus elektróda elrendezés esetén sokkal nagyobb a feszültség esés a kisebb elektróda felé – fenn kell tartani az áramok kontinuitását

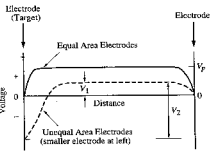


Figure 10-8 Steady-state voltage distribution in RF-powered plasma etch systems. (See Figure 9-27 and the associated text for a more complete discussion of this figure.)

MTA MFA MEMSLabor - Száraz marások 5

MEMS Laboratory

Marási mechanizmusok

MTA MFA MEMSLabor - Száraz marások 6

Marási mechanizmusok

- ⊙ Hatékonyabb **kémiai** marás reaktív gyökök jelenlétében (pl. atomos F)
- ⊙ Irányított anizotrop **fizikai** marás töltött részecskékkel (sűrűbb struktúra)

Diszociáció:
 $CF_4 + e^- \rightarrow CF_3 + F + e^-$

Ionizáció:
 $CF_4 + F \rightarrow CF_3 + F_2 + e^-$

Rekombináció:
 $CF_3 + F + e^- \rightarrow CF_4$
 $F + F \rightarrow F_2$

Figure 10-11 Effect of positive ions on secondary electron production (used in film etching), with a secondary electron multiplier and ion retarding electrode (to reduce ion damage, which occurs when secondary electrons are lost to the substrate).

Ion-segített marás

MTA MFA MEMSLabor - Száraz marások
7

Kémiai marás

- Szabad gyökök (semleges, nemkötő elektronnal rendelkezik) – igen reaktív
 $CF_4 + e^- \rightarrow CF_3 + F + e^-$
 $4F + Si \rightarrow SiF_4$

Λ reakciótermékek **el kell távoznia** a felületről, hogy a marás folytatódhasson - volatile

Adalék gázok segíthetik a több reaktív szabad gyök képződést, ezzel növelhetjük a marási sebességet
 pl. O_2 gáz a diszociál CF_4 , CF_3 -vel reagál, ezzel megakadályozza a rekombinációt CF_3 -gá, ezzel növeli a szabad F jelenlétét DE: túl sok O_2 túlságosan felhigítja a maró gázt!

Figure 10-10 Process involved in chemical etching during plasma etching.

- Izotrop a marás, mert
 - Izotrop a sebesség szögeloszlása
 - Alacsony a felületi tapadási együttható (rengeteget barárogol, míg reagál, kell neki a megfelelő site, ált. több lépésben zajlik,)
- Nagy szelektivitás érhető el

MTA MFA MEMSLabor - Száraz marások
8

Fizikai marás

- V_p miatt a pozitív ionok gyorsulnak az elektródák felé (az egyikén ül a szelet is)
- Anizotrop:
 - Az elektromos tér irányitottsága miatt a beérkező ionok irányítottan vannak
 - A tapadási együttható nagy – ha beüt mar, többet nem üt be
- Szelektivitás rossz

MTA MFA MEMSLabor - Száraz marások
9

Ion-segített marás

Ionok + semleges szabad gyökök nem függetlenül vannak együtt

- Marási sebesség nem az összeg (sokkal nagyobb)
- Profil nem a lineáris kombináció, hanem olyan, mint a fizikai marás esetén, ha növeljük a kémia komponensét, akkor nem a laterális, hanem a vertikális marási sebesség nő!
- Jó szelektivitás

Figure 10-13 Etch rates of an anisotropic etching. In (a) the chemical etch step is so limited that ion bombardment is the only mechanism in terms of etching rate. In (b) ion bombardment, etching chemical etching is present. In both cases, an anisotropic etching results.

Magyarázat?
 Ionbombázás a kémiai marás vmelyik komponensét segíti (felületi adszorpció, marási reakció, reakciótermék képződés/eltávolítás), de anizotropan
 Pl. Inhibitorok nagyobb raktárral van reakció
 Pl. inhibitor anizotrop eltávolítása led Bosch

MTA MFA MEMSLabor - Száraz marások
10

Példa I. – Si száraz marása

Example: Si etching in $CF_4 + O_2$ mixture

Reason:
 (1) $O + CF_x \rightarrow COF_x + F^*$
 F^* increases Si etching rate
 (2) $Si + O_2 \rightarrow SiO_2$, ∴ rate ↓

EE143 – Vivek Subramanian

MTA MFA MEMSLabor - Száraz marások
11

Példa I. – Si száraz marása

Si marása
 CF_4 plazma

$CF_4 + e^- \rightarrow CF_3^* + F^* + e^-$ el. üt. dissz.

$Si + 4F^* \rightarrow SiF_4$ (marás) $CF_3^* + F^* \rightarrow CF_4$ (rekombináció: ez domináns)

→ CF_4 plazmában kicsi a Si marási sebessége.
 legyen több F^* → csökkentjük $CF_3^* \cdot t$

$CF_3^* + O_2 \rightarrow COF_2 + OF^*$
 $CF_2^* + OF^* \rightarrow COF_2 + 2F^*$
 $OF^* + OF^* \rightarrow [O_2F_2] \rightarrow O_2 + 2F^*$

Marógázok: $CF_4 + O_2$ (5-20%), $SF_6 + O_2$, NF_3

MTA MFA MEMSLabor - Száraz marások
12

Példa II. – SiO₂ száraz marása

How to Control Selectivity ?

E.g. SiO₂ etching in CF₄+H₂ plasma

$$S = \frac{\text{Rate SiO}_2}{\text{Rate Si}}$$

Reason: $F^* + H \rightarrow HF \therefore F^* \text{ content } \downarrow$
 $\therefore SiF_4 \downarrow$

EE143 – Vivek Subramanian

MTA MFA MEMSLabor – Száraz marások 13

Példa II. – SiO₂ száraz marása

SiO₂ marása

$$4CF_3^* + 3SiO_2 \rightarrow 3SiF_4 + 2CO + 2CO_2$$

CF₃* kell → csökkentjük F*-t

$$2F^* + H_2 \rightarrow 2HF \text{ stabil}$$

CF_x (x=1-3) + SiO₂ → SiF₄ + CO + CO₂ + COF₂
 CF_x (x=1-3) + Si → SiF_x + C (C_xSi_{1-x}F_{2-x} polimer → marás leáll)

Marógázok: CF₄ + H₂, CHF₃, C₂F₆ + H₂, C₃F₈ + H₂

MTA MFA MEMSLabor – Száraz marások 14

Berendezések

MTA MFA MEMSLabor – Száraz marások 15

Plazma maró berendezések I. – Hengeres plazmamaró

- A szelet nem az elektródán ül, de sok elfér benne
- Izotrop kémiai marás, nagy szelektivitás, kis hibakeltés
- Egyenletlen kívülről befelé haladva
- p=10-1000mtorr

Nem kritikus marási lépésekhez pl. reziszt elárolítás O₂-ben (ashing)

Figure 10-15 Schematic illustration of barrel etch system, in which purely chemical plasma etching occurs.

MTA MFA MEMSLabor – Száraz marások 16

Plazma maró berendezések II. – Sík plazmamaró

- Sík plazmamaró - Plazma mód
 - A szelet a földelt elektródán ül a másik felé nézve – egyenletesebb marás, főként kémiai, jó szelektivitással, enyhe anizotropia
 - Ion bombázás is van, de nagyon gyenge, a feszültség esés 10-100V
 - A kisebbik elektróda porlódik
 - p=10-500mtorr
 - ionkoncentráció ~ 10⁹-10¹⁰cm⁻³

Figure 10-7 Schematic diagram of an RF-powered plasma etch system.

MTA MFA MEMSLabor – Száraz marások 17

Plazma maró berendezések III. – RIE

- Sík plazmamaró – RIE (Reactive Ion Etching) mód
 - A szelet a kisebbik elektródán ül, gyakran csak egy szelet
 - A nagyobbik a földelt elektróda, csatlakoztatva a kamra falához, jelentősebb a feszültség esés 100-800V tartományban - bias f (p, gázösszetétel, P) - ion segített anizotrop marás lehetséges
 - kisebb nyomás esetén még irányítottabb a marás, de kisebb a plazma sűrűsége is (10-100 mtorr), ionkoncentráció ~ 10⁹-10¹⁰cm⁻³
 - kis marási sebesség 100 nm/perc
 - Rács hibák, töltődés, árkok (trenching)

Példák: SiO₂; CHF₃; pol-Si; Si₃N₄; SF₆ + O₂; NF₃; Al₂O₃; BCl₃

Figure 10-8 Steady-state voltage distribution in RF-powered plasma etch system. See Figure 9-27 and the associated text for a more complete discussion of this figure.

MTA MFA MEMSLabor – Száraz marások 18

MEMS Laboratory

Plazma maró berendezések IV. – HDPE

High Density Plasma Etching

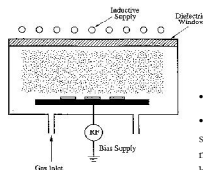


Figure 10-16 Schematic diagram of High-Density Plasma (HDP) etching system. This configuration is powered by an inductively coupled plasma (ICP) source which produces and controls the high-density plasma. The RF power also independently controls the ion energy.

- Plazma sűrűség és Ion energia egymástól függetlenül
- ECR vagy ICP forrás 10^{11} - 10^{12} ion/cm³ sűrűségű plazmát, nagy sheath bias nélkül - így lehet kisebb nyomásokat használni 1-10 mTorr – még jobban irányított a marás (kevesebb ütközés a sheath-ben)
- RF forrás előfeszíti a szeletet, ez határozza meg a becsapódó ion energiáját, amit tarthatunk alacsonyan a nagy ionsűrűség mellett is – kisebb szubsztrát károsodás
- nagy marási sebesség: néhány um/min

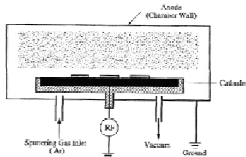
A hatás olyan, mint az ion segített marásnál!

MTA MFA MEMS Labor – Szóráz marások 19

MEMS Laboratory

Plazma maró berendezések V. – Ionmaró

- Porlasztás és ion marás (Sputter etching, Ion milling)
 - Tisztán fizikai marás
 - Kémiailag inert anyaggal (Ar)
 - A szeletek a kisebbik elektródon, az anód a kamra fala
 - Teljesen anizotróp, bármely anyag marható,
 - Az Ar porlasztási hozama hasonló kül. anyagokra - nincs szelektivitás



MTA MFA MEMS Labor – Szóráz marások 20

MEMS Laboratory

Az ion bombázás hatásai

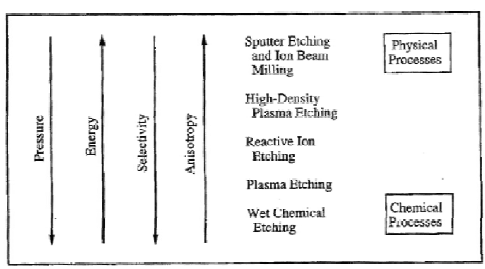


Figure 10-19 Summary of trends of different etch systems.

MTA MFA MEMS Labor – Szóráz marások 21

MEMS Laboratory

Az ion bombázás hatásai

- Trenching (árok) – a maszk oldalfaláról lepattanó ionok az alsó sarkot marják
- Redeposition (lerakódás) – a kiporlasztott anyagok a mart területen lerakódnak
- Rácsbubák kéltése – kilök, implantált atomokat a felszín alá
- Radiation damage () – e⁻ csapdák kéltése gate oxidban
- Felület töltődése + image force – a maszk vagy a szelet feltöltődése az ionok eltérüléséhez vezethet

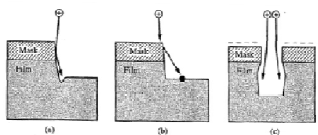


Figure 10-18 Problems associated with sputter etching, (or any etching that has a high degree of physical/ionic etching): (a) trenching at bottom of sidewalls; (b) redeposition of sputtered material; (c) charging and sputter-induced mask erosion.

MTA MFA MEMS Labor – Szóráz marások 22

MEMS Laboratory

Terhelési effektus (Loading effect)

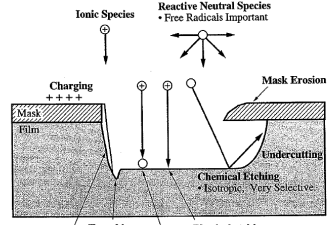


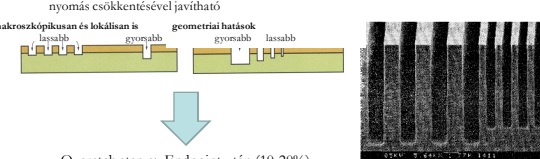
Figure 10-20 Summary of different processes occurring in plasma etching. (After [10.4].)

MTA MFA MEMS Labor – Szóráz marások 23

MEMS Laboratory

Terhelési effektus (Loading effect)

- Macroscopic loading: minél több marási felület, annál lassabb marási sebesség (a reaktív gyökök kiürülése miatt, az áramlási sebesség növelésével lehet rajta segíteni)
- Microloading/ARDE (Aspect Ratio Dependent Etching) / RIE lag : a keskenyebb árkokat lassabban marja
 - (1) A reaktív gyökök kiürülése, becsapódása a mélyben
 - (2) Az ionok eltérülése a töltődés miatt
 - (3) Árnyékolási effektusok (ha pl. az ionok a sheath-ben ütköznek és off-axis pályára állnak) – ez a nyomás csökkentésével javítható



Overetch step az Endpoint után (10-20%)

MTA MFA MEMS Labor – Szóráz marások 24

MEMS Laboratory

DRIE *Intro*

DRIE – Deep Reactive Ion Etching
 Marási mélység : árok szélessége > 10:1 (MEMS, DRAM kapacitások)

Si DRIE

Gáz összetétel: halogén alapú plazmákkal gyors a marás
 F-alapú, (pl. SF₆) gyors izotróp marás
 Cl-, Br-alapú (pl. Cl₂, HBr) ion segített marással anizotróp, de lassabb és mérgező

F-alapú + inhibitor

Az inhibitor képződés függ: T, kamra előléte!!!

- Hátoldali He gázos hűtés
- LN kriostátos hűtés -100°C alatt a reaktív gázok inhibitor réteget képeznek
- Két teljesítmény forrás: ICP a nagy reaktív gázok + ion sűrűség képzéshez, CCP DC self-bias az ion energia meghatározásához

MTA MFA MEMSLabor – Százaz márdok 25

MEMS Laboratory

DRIE *Intro – Passzíváló réteg kialakítása*

Inhibitor/Passzíváló réteg

- Si-ot eloxidáló gáz bevezetése, mely nem átkény SiO₂,F₂ réteget képez
- Az átkény passzíváló réteg ráfagyasztása (cryo)
- Carbon-halogén polymer prekursor gáz bevezetése
- Fém-halogén vagy reziszt erodálása és újra krakása

Mixed mode DRIE / Cryo Pulsed mode DRIE / Bosch

SF₆ + O₂ @ cryo °C SF₆ + C₄F₈ @ RT

Ion Angular Distribution Image Force...

... hatás a két marási mechanizmusra...

Figure 1. A dual source DRIE system. 26

MEMS Laboratory

DRIE *Cryo vs Bosch*

Figure 3. Cross-sectional views of trenches etched in mixed-mode versus pulsed-mode DRIE. 27

MEMS Laboratory

DRIE – Bosch Process

- Passziválás
C₄F₈ → n CF₂ (PTFE)
- Marás
SF₆ → F + ionok
ionbombázás + polimer marás (függetlenes falak kivételével)
- SF₆ izotróp - enyhén anizotróp Si marás

MTA MFA MEMSLabor – Százaz márdok 28

MEMS Laboratory

Disturbing features during DRIE processing

Figure 2. "Disturbing" features during DRIE processing. Left: ion angular distribution (IAD) caused by ion collisions with species in the dark space. Right: image force (IF) causing negative tapering or bowing in the case of very thin film sidewall protection.

Dark space vastagsága:

$$d = \lambda_D \left(\frac{eU_p}{1.6T} \right)^{1/4} \quad \lambda_D = \sqrt{\frac{\epsilon_0 k T}{e^2 n_e}}$$

Pl Ar₁, d=10 mm @ 1 Pa,
 d=6 mm @ 3 Pa

Az ionok gyorsítása itt történik!
 Ütközések a dark space-ben → Ion Angular Distribution Function
 → Ion Energy Distribution Function

Pl SF₆ @ 10 Pa, 300K (0.2 mm ütközések közötti átlagos szabad úthossz), d₀=0.3 mm → 30° IAD
 SF₆ @ 1 Pa, 300K (2 mm ütközések közötti átlagos szabad úthossz), d₀=1 mm → 5° IAD

Szög alatt érkeznek – negatív tapering, árnyékolás, RIE lag

MTA MFA MEMSLabor – Százaz márdok 29

MEMS Laboratory

Disturbing features during DRIE processing

Figure 2. "Disturbing" features during DRIE processing. Left: ion angular distribution (IAD) caused by ion collisions with species in the dark space. Right: image force (IF) causing negative tapering or bowing in the case of very thin film sidewall protection.

Ionok eltérülése

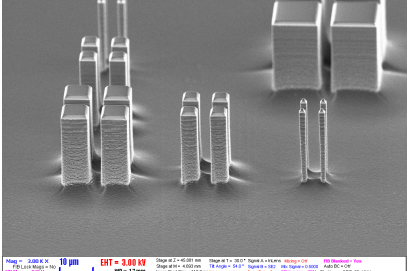
- Vezető oldalfal negatív potenciálon
- Image Force (képtöltés) – a Si fal elektrosztatikusan vonzza a beérkező ionokat
- F~1/√d (minél közelebb van a falhoz annál nagyobb)
- kétoldali hatás, a közelebbi fal felé térül el (keskenyebb árok esetén jobban egyensúlyban van)
- a passzíváló rétegben tölt egy kis időt, majd egy e⁻ nal semlegesítődik, ez függ a passzíváló réteg vastagságától – vastagabb – több időt tölt – ellensúlyozza az IF eltérítő hatását
- Ionok eltérülése miatt az árok alján csökken az ion fluxus – csökken a marási sebesség – RIE lag

MTA MFA MEMSLabor – Százaz márdok 30

MEMS Laboratory

Si marás - Bosch

C_4F_8 100 sccm, 30 mT, 750W ICP, 5W RF, 4s
 SF_6 150 sccm, 40 mT, 750W ICP, 15W RF, 7s
 50 cycles with LF generator



MTA MFA MEMSLabor - Százszentmárton 31

MEMS Laboratory

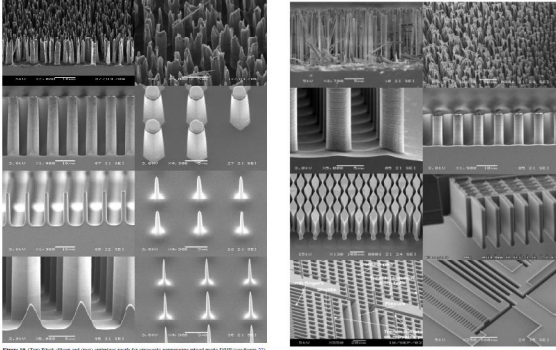


Figure 26: Top Back (left) and front (right) operation mode for cryogenic temperature pulsed mode DRIE (see Figure 25).

Figure 27: Typical result for room temperature pulsed mode DRIE (see Figure 25).

MTA MFA MEMSLabor - Százszentmárton 32

MEMS Laboratory

DRIE Intro - Paraméterfüggések

RF teljesítmény, ICP teljesítmény, nyomás, gáz összetétel, áramlási sebességek, hőmérséklet (inhibitor desorption!), mennyi a Si felület

Cryo Trends:

SF₆ flow: Increase flow to increase silicon etch rate.
O₂ flow: Adjust oxygen flow to control etch profile and surface roughness. Too much O₂ will give a positive sidewall slope and a rough, 'grassy' surface. Too little O₂ will give an undercut profile.
ICP power: Increase power to increase silicon etch rate, beware of undercutting the mask.
RF power: Reduce to improve selectivity.
Pressure: Adjust pressure to control etch profile and etch rate. Increased pressure will increase etch rate and selectivity, but profile is then typically more difficult to control (as it is more sensitive to O₂ flow and wafer temperature). Decreased pressure will give more vertical profile, but will give lower etch rate and selectivity.
Temp.: Higher temperature will give more undercut, lower temperature will give positive profiles and grassy/rougher surface. Lower temperature (<=120°C) can also give crystallographic etch features at bottom of trenches. It is essential that the wafer temperature is well controlled, i.e. the back of the wafer and electrode surface must be clean, smooth and free from particles, or resist residues.
He BP: Must be high enough to ensure sufficient heat transfer from the backside of the wafer, but should not be so high that it causes wafer to bow or causes excessive Helium leakage (e.g. >10-15sccm leakage is usually considered too high). Also, the wafer must be well clamped by the clamping mechanism, i.e. cannot be moved by hand when clamped.

MTA MFA MEMSLabor - Százszentmárton 33

MEMS Laboratory

Bosch Trends

Process	Deposition Process					Etch Process					
	Increasing Parameter	C ₄ F ₈ flow	Pressure	ICP	DC bias	Step time	SF ₆ flow	Pressure	ICP	DC bias	Step time
Silicon etchrate	-	-	optimum pressure depends on ICP power	↑↑	↑↓	↓	↑	Pressure depends on ICP power	↑↑	↑	↑
PR etchrate	-	-	-	↑↑	↑↓	↓	-	↓	↑↑	↑	↑
Oxide etchrate	-	-	-	↑↑	↑↓	↓	-	↓	↑↑	↑	↑
Profile	↑ (more +ve)	↑ (more +ve)	↓ (more -ve)	↑ (more +ve)	↑ (more +ve)	↓ (more +ve)	↓ (more -ve)	↑	↓ (more -ve)	↑ (more +ve)	↑ (more +ve)
Sidewall roughness	↓	↓	↑	↑↑	↑ (increased 'rippling')	↑	↑	↑	↑	↑	↑ (increased 'rippling')
Surface roughness	needs correct dep/etch time ratio & sufficient ion density/energy					↑	- could be related to ceramic ICP tube surface quality				
Etchrate uniformity	↑↓	↑↓	↑	↑	↑	↑↓	↑↓	↑	↑	↑	↑↓
Profile uniformity	↑↓	↑↓	↑	↑	↑	↑↓	↑↓	↑	↑	↑	↑↓
"Bottling"	↓	No effect	↑	↓	↓	↓	↑	No effect	↑	↓	↑
"Foot"	more polymer dep creates 'trenching' to counteract 'footing'		↑	↑	↑	↓	↓	↓	↓	↓	↓

MTA MFA MEMSLabor - Százszentmárton 34